

เรื่องเดิม (Proceeding of Kasetsart University Annual Conference)



วิชาการและนวัตกรรมศาสตร์ มหาวิทยาลัย Kasetsart
กับ 30 ปีแห่งความสำเร็จ แห่ง มหาวิทยาลัย Kasetsart

เรื่องเดิมประชุมวิชาการประจำปี ครั้งที่ 46
The Proceeding of 46th Kasetsart University Annual Conference

สาขาวิชาสถาปัตยกรรมศาสตร์และวิศวกรรมศาสตร์

(Subject: Architecture and Engineering)

สาขาวิชาทรัพยากรธรรมชาติและสิ่งแวดล้อม

(Subject: Natural Resources and Environment)



เล่มที่ 6

สาขาวิชาสถาปัตยกรรมศาสตร์และวิศวกรรมศาสตร์

(Subject: Architecture and Engineering)

สาขาวิชาทรัพยากรธรรมชาติและสิ่งแวดล้อม

(Subject: Natural Resources and Environment)

จัดโดย (Organized by)

มหาวิทยาลัยเกษตรศาสตร์ (Kasetsart University)

ร่วมกับ (in cooperation with)

สำนักงานคณะกรรมการการอุดมศึกษา (Commission of Higher Education)

กระทรวงศึกษาธิการ (Ministry of Education)

กระทรวงเทคโนโลยีและสหกรณ์ (Ministry of Agriculture and Cooperatives)

กระทรวงวิทยาศาสตร์และเทคโนโลยี (Ministry of Science and Technology)

กระทรวงทรัพยากรธรรมชาติและสิ่งแวดล้อม

(Ministry of Natural Resource and Environment)

กระทรวงเทคโนโลยีสารสนเทศและการสื่อสาร

(Ministry of Information and Communication Technology)

สำนักงานคณะกรรมการวิจัยแห่งชาติ (National Research Council of Thailand)

และสำนักงานกองทุนสนับสนุนการวิจัย (The Thailand Research Fund)

15. ສດ.ກສ.24/073 ການສຶກສາມເປົ້າຍັນທີຍ່າເສມາຮຽນແລະອັດຕະກາຮັນເສື່ອລັນດຳນັ້ນເພື່ອເພີ້ນ
ອຸດຕະກິບສະອນດີເປັນເຕີມ 4 ຊ່ວງສັກ ແລະ ສຶກສົງຍັນດີເປັນເຕີມ 6 ຊ່ວງສັກ
ໃນເທິງກົງທະນູເທົ່ານັດ 100 ປີ. 119

The Comparative Study of the Performance and Fuel Consumption the Four-Stroke Engine and the Six-Stroke Engine for Motorcycle 100 cc.

ໂທຍ ອຸນຸຕີ່ຍັງງົງ ທີ່ມານະຕະບະກຸດ ປະຈາບ ອະຫວາງ
ແຂວງປະນາກ ກະນຸມຸຫດ

16. ສດ.ກສ.25/077 Realization of OTA-Based Temperature-Insensitive Floating Simulators..... 127

17. ສດ.ກສ.26/078 Voltage-Mode Universal Filter Based on CCCIs 135

18. ສດ.ກສ.28/080 ພົມຈົດເຮືອສັງຫຼຸງການເຄີຍຕົ້ນໃໝ່ທັງກະນົດແລະນັມເຫັນສະຫະສະກາດ
ຢູ່ມັນໄວິດໄວິເຫຼີດ DO-CCTA ຕໍ່ເທິງມົມຕົມຕົ້ນ 143

A High-Performance Temperature-Insensitive Current-Mode Precision Employing DO-CCCCTA

Precision Employing DO-CCCCTA

ໂທຍ ອຸນຸຕີ່ຍັງງົງ ກົມ ສີຄະພັນດີ ວິໄນ ໄຈນສ້າ¹ ແລະ ມານີ ສົງປະຍານນິ້ນ²
Chayut Chaiapooma¹, Phanorn Silapan², Winaij Jaikla³, and Montrie Siripuchyanun¹

ນາຄັດຍອດ

ນາຄາມນີ້ແນ່ນອອນຈາກເປົ້າຍັນສັງຫຼຸງການເຄີຍຕົ້ນ ‘’ໂທມຄະຮະແຜນຍັນເຫັນໄວ້ໄດ້’’ DO-
CCCCTA ສັກລະນຸມຕົມຕົ້ນໃໝ່ທັງກະນົດ ຄວາມກາເປົ້າຍັນຮັບເຫັນທີ່ມີກຳນົດສະຫະສະກຳເຫັນໄວ້
ການຕະຫຼອນເຫັດຕະຫຼອນທັງກະນົດ ແລະ ສັນນາມກາເປົ້າຍັນທີ່ມີກຳນົດສະຫະສະກຳເຫັນໄວ້
ສໍານາມກາເປົ້າຍັນທັງກະນົດທີ່ມີກຳນົດສະຫະສະກຳເຫັນໄວ້
ຕ້ອງມີເຫັນເຫັນເລີຍອົບເວັດ ເພີ້ມໃຫ້ຮັບຮັບສົດສະຫະສະກຳເຫັນໄວ້
ສໍານັກີຕົວສ່ວນກອງຈາກປະກອບໄວ້ DO-CCCCTA ເພີ້ມຕົວເຫັນໄວ້ ໂດຍມາກາຈາກຖານພັດພັນທີ່ມີກຳນົດສະຫະສະກຳ
ມັກາກາຫຍດສ່ວນກອງຈາກປະກອບໄວ້ ພົມຈົດເຮືອສັງຫຼຸງການເຄີຍຕົ້ນໃໝ່ທັງກະນົດ
ມີມັນໄວິດໄວິເຫຼີດ -1.8mA ຢູ່ມັນໄວິດໄວິເຫຼີດ +1.8mA ໃຫຍ້ມີມັນໄວິດໄວິເຫຼີດ ±1.5mA ໂດຍມາກາຈາກຫຼັງຈາກ
ເຮັດຕັ້ງຕໍ່ມີກຳນົດສະຫະສະກຳເຫັນໄວ້ ບໍ່ໄດ້ ເພີ້ມສົນກາກຕ່າງໆກ່າວມີມັນໄວິດໄວິເຫຼີດ
ກໍາສັ່ງເພີ້ມຕົວເຫັນໄວ້ 442µW
ຄໍາເລີດຕັ້ງ ລາຍເຮືອສັງຫຼຸງການ, DO-CCCCTA, ໂພນຄະນະ

ABSTRACT

This article introduces a novel version for implementing high-performance current-mode precision full-wave rectifier, employing Double-Output Current-Controlled Current Conveyor Transconductance Amplifiers (DO-CCCCTAs). The features of the proposed rectifier are that: it provides high-precision rectified output signal; the output current is temperature-insensitive. In addition, polarity of the output current signal can be arbitrarily controlled by voltage in the circuit to be

19. ສດ.ກສ.30/086 ການຮັບຮັດພົດສ່ວນໃໝ່ທີ່ມີໂປຣສີເຫຼືອ..... 151

Electrical Energy Saving in Ironing Clothes of Yellow Polo Shirts
ໂທຍ ອຸນຸຕີ່ຍັງງົງ ແລະ ສົງປະຍານນິ້ນ

20. ສດ.ກສ.32/0102 ການຮັບຮັດພົດສ່ວນໃໝ່ທີ່ມີໂປຣຄອນນິກຮັດລອດ ARM7 ໄນ
ກົມບວນກາຮຽນຕົ້ນ..... 158

The Controller Designed on ARM7 for an Interacting Level Process
ໂທຍ ອຸນຸຕີ່ຍັງງົງ ແລະ ສົງປະຍານນິ້ນ

1 ການຕັ້ງກັດກາງປິກຕິກ ກະບົດຫຼາຍກົງກາພາການ ສາບ້າມັດຕົກໃຫ້ພະຍານແກ້ການກາງປິກ
Department of Teacher Training in Electrical Engineering, Faculty of Technical Education, King Mongkut's Institute of
Technology North Bangkok

2 ໂປ່ງກັນເພີ້ມຕົວສັນນິກ ຄະບົດຫຼາຍກົງກາພາການ ນາງວິຈີຕົວສັນນິກ ພົມຈົດ
Electronic Program, Faculty of Industrial Technology, Ubon Ratchathani University
ມີມັນໄວິດໄວິເຫຼີດສັນນິກ ນາງວິຈີຕົວສັນນິກ ພົມຈົດ
Electronic and Electrical Program, Faculty of Industrial Technology, Suan Sunandha Rajabhat University

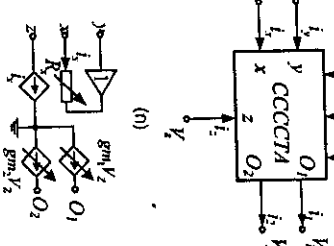
either positive or negative without changing circuit topology, which differs from the previous literatures. Circuit description merely consists of only single DO-CCCTA to serve as current-switching device, without any external passive components. The performances of the proposed circuit are investigated through PSPICE. They show that the proposed circuit can function as a current-mode precision full-wave rectifier where input current ranges changed from -1.8mA to 1.8mA current supplies. The proposed circuit can operate at supply voltages as low as $\pm 1.5V$. The maximum power consumption is 442uW. Furthermore, the highest frequency is restricted at megahertz range. With claimed outstanding features, it is very appropriate to further develop the proposed circuit to be a part of a monolithic chip for working in a current-mode signal processing.

Keywords: Rectifier, DO-CCCTA, current -mode

บทนำ

วงจรเรียงกระแสอย่างง่ายสามารถเปลี่ยนแปลงค่าคงที่ได้ในทางเดียว จึงอาจจำเป็นต้องใช้ตัวขยายเพื่อปรับเปลี่ยนค่าคงที่นี้ แต่ตัวขยายที่มีความต้องการสูงจะต้องมีขนาดใหญ่และซับซ้อน จึงทำให้ต้องใช้ตัวขยายแบบ AM แทน แต่จะพบว่าความต้องการขยายตัวของตัวขยายนี้มีค่าคงที่ไม่ต่อเนื่องกัน [1,2] โดยอาจจึงต้องต้องต่อตัวขยายแบบบานพับเข้ากับตัวขยายแบบ AM แทน จึงทำให้ต้องต้องต่อตัวขยายแบบบานพับเข้ากับตัวขยายแบบบานพับ [3] ในกรณีที่ต้องต่อตัวขยายแบบบานพับเข้ากับตัวขยายแบบ AM แต่ต้องต้องต่อตัวขยายแบบบานพับเข้ากับตัวขยายแบบบานพับ [4] ต้องมาจึงต้องต้องต่อตัวขยายแบบบานพับเข้ากับตัวขยายแบบบานพับ [5] และต้องต้องต่อตัวขยายแบบบานพับเข้ากับตัวขยายแบบบานพับ [6] รวมทั้งต้องต้องต่อตัวขยายแบบบานพับเข้ากับตัวขยายแบบบานพับ [7]

หากต้องต้องต่อตัวขยายแบบบานพับเข้ากับตัวขยายแบบบานพับ ทั้งสองตัวนี้จะต้องต้องต่อตัวขยายแบบบานพับเข้ากับตัวขยายแบบบานพับ จึงต้องต้องต่อตัวขยายแบบบานพับเข้ากับตัวขยายแบบบานพับ [8,9] นอกจากนี้ต้องต้องต่อตัวขยายแบบบานพับเข้ากับตัวขยายแบบบานพับ ที่ต้องต้องต่อตัวขยายแบบบานพับเข้ากับตัวขยายแบบบานพับ จึงต้องต้องต่อตัวขยายแบบบานพับเข้ากับตัวขยายแบบบานพับ [10,11] จึงต้องต้องต่อตัวขยายแบบบานพับเข้ากับตัวขยายแบบบานพับ ที่ต้องต้องต่อตัวขยายแบบบานพับเข้ากับตัวขยายแบบบานพับ [12,13] อย่างไรก็ตามต้องต้องต่อตัวขยายแบบบานพับเข้ากับตัวขยายแบบบานพับ [14] จึงต้องต้องต่อตัวขยายแบบบานพับเข้ากับตัวขยายแบบบานพับ [15] จึงต้องต้องต่อตัวขยายแบบบานพับเข้ากับตัวขยายแบบบานพับ [16]



รูปที่ 1 (a) ลักษณะภายนอก DO-CCCTA

2. วงจรและลักษณะทำงานของวงจร

2.1 หลักการทำงานของ DO-CCCTA

เมื่อจ่ายไฟฟ้าเข้าสู่ตัวอินเวอร์เตอร์ DO-CCCTA ที่มีตัวขยายแบบบานพับเข้ากับตัวขยายแบบบานพับ คุณสมบัติที่สำคัญที่สุดคือต้องต้องต่อตัวขยายแบบบานพับเข้ากับตัวขยายแบบบานพับ ที่ต้องต้องต่อตัวขยายแบบบานพับเข้ากับตัวขยายแบบบานพับ [16]

$$\begin{bmatrix} I_x \\ I_y \\ I_z \end{bmatrix} = \begin{bmatrix} 0 & 0 & 0 & 0 & 0 & 0 \\ R_1 & 1 & 0 & 0 & 0 & 0 \\ 1 & 0 & 0 & 0 & 0 & 0 \\ 0 & 0 & 0 & 0 & 0 & 0 \\ 0 & 0 & 0 & 0 & 0 & 0 \\ 0 & 0 & 0 & 0 & 0 & 0 \end{bmatrix} \begin{bmatrix} V_x \\ V_y \\ V_z \\ I_{in} \\ I_{in} \\ I_{in} \end{bmatrix} \quad (1)$$

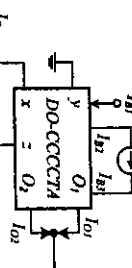
ลักษณะเฉพาะตัวของ DO-CCCTA ให้ตัวอย่างเช่นตัวขยายแบบบานพับเข้ากับตัวขยายแบบบานพับ (Current Inverter) ซึ่งจะให้ได้ผลลัพธ์ที่ต้องการ คือต้องต้องต่อตัวขยายแบบบานพับเข้ากับตัวขยายแบบบานพับ [17] จึงต้องต้องต่อตัวขยายแบบบานพับเข้ากับตัวขยายแบบบานพับ [18] ต้องต้องต่อตัวขยายแบบบานพับเข้ากับตัวขยายแบบบานพับ [19] ต้องต้องต่อตัวขยายแบบบานพับเข้ากับตัวขยายแบบบานพับ [20] ต้องต้องต่อตัวขยายแบบบานพับเข้ากับตัวขยายแบบบานพับ [21] ต้องต้องต่อตัวขยายแบบบานพับเข้ากับตัวขยายแบบบานพับ [22] ต้องต้องต่อตัวขยายแบบบานพับเข้ากับตัวขยายแบบบานพับ [23] ต้องต้องต่อตัวขยายแบบบานพับเข้ากับตัวขยายแบบบานพับ [24] ต้องต้องต่อตัวขยายแบบบานพับเข้ากับตัวขยายแบบบานพับ [25]

ทั้งนี้ต้องต้องต่อตัวขยายแบบบานพับเข้ากับตัวขยายแบบบานพับ จึงต้องต้องต่อตัวขยายแบบบานพับเข้ากับตัวขยายแบบบานพับ [26] ต้องต้องต่อตัวขยายแบบบานพับเข้ากับตัวขยายแบบบานพับ [27] ต้องต้องต่อตัวขยายแบบบานพับเข้ากับตัวขยายแบบบานพับ [28]

ค่าคงที่ต้องต้องต่อตัวขยายแบบบานพับเข้ากับตัวขยายแบบบานพับ [29] ต้องต้องต่อตัวขยายแบบบานพับเข้ากับตัวขยายแบบบานพับ [30] ต้องต้องต่อตัวขยายแบบบานพับเข้ากับตัวขยายแบบบานพับ [31] ต้องต้องต่อตัวขยายแบบบานพับเข้ากับตัวขยายแบบบานพับ [32] ต้องต้องต่อตัวขยายแบบบานพับเข้ากับตัวขยายแบบบานพับ [33]

$$g_{m,1,2} = \frac{I_{o,2}}{2V_T} \quad (3)$$

เมื่อ V_T เป็นศักดาค่าห้าม CCCCCTA มีสัญลักษณ์แสดงดังนี้ที่ 1 (a) และ (b) ตามลำดับ



รูปที่ 2 โครงสร้างของวงจรเรียบสัญญาณเดิมเดินที่หน้าจอแสดง

2.2 หลักการของวงจรเรียบสัญญาณเดิมเดินที่หน้าจอแสดง

พื้นฐานๆ ถ้าให้วงจรรักษาความเรียบสัญญาณเดิมเดินที่หน้าจอแสดง 2 โดยใช้คุณสมบัติของ DO-CCCCCTA เมื่อ

หากเราต้องการให้สัญญาณเดิมเดินที่หน้าจอแสดง จะได้รับ [17]

$$I_{o,1} = \begin{cases} 0 & \text{if } I_m > 0 \\ I_m \tanh\left(\frac{V_z}{2V_T}\right) & \text{if } I_m < 0 \end{cases} \quad (4)$$

$$I_{o,2} = \begin{cases} I_m \tanh\left(\frac{V_z}{2V_T}\right) & \text{if } I_m > 0 \\ 0 & \text{if } I_m < 0 \end{cases} \quad (5)$$

หากเราไม่ได้ 2 จะได้

$$I_c = I_s + I_t \quad (6)$$

เมื่อ $I_s = I_t$

$$I_s = \frac{I_c}{2} \quad (7)$$

จึงได้ $V_z = V_c = I_s R_s$ ดังนั้น

$$V_z = \frac{I_s R_s}{4I_B} \quad (8)$$

จากสมการที่ (4-5) เมื่อ $V_z \gg 2V_T$ อาจสมการดูดซูญญานิพนธ์ ก็จะเป็น

$$\tanh\left(\frac{V_z}{2V_T}\right) = 1 \quad (9)$$

เนื่องด้วย $I_o,1 = I_o,2$ หมายความว่า การกระแส $I_{o,1}$ และ $I_{o,2}$ จะมีค่าเท่ากัน I_m สำหรับสัญญาณเดิมเดินที่หน้าจอแสดง 4 ถ้าเราต้องการให้สัญญาณเดิมเดินที่หน้าจอแสดง 2 ให้ได้ ต้องตั้งค่า I_m ให้เท่ากับ $8I_B$ ดังนี้

เมื่อกำหนดค่า I_m ให้ได้ตามที่ต้องการ $\pm 1.5V$ โดยจะต้องตั้งค่า I_m ให้เท่ากับ $0.35mA$ TSMC

CMOS เทคโนโลยี [19] โดยกำหนดค่าของวงจร AI-A400 ของ AT&T [18] และสำหรับ

NMOS หัวใจของวงจรที่ห้าม 1224 อาจต้องตั้งค่าของวงจร $\pm 2V$ ไปที่ 3 เมื่อใช้หัวใจของวงจร DO-CCCCCTA

ที่ห้ามสัญญาณเดิมเดิน BICMOS เพื่อให้สอดคล้องกับค่าของสัญญาณเดิมเดิน (Translinear) หากไม่ใช่ แสดงให้

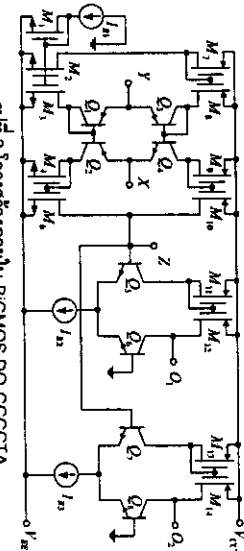
ยกกรณีในข้อที่ 2 จะได้

$$I_c = I_s + S I_{B,2} \quad (12)$$

$$I_{out} = -|I_m| \quad (13)$$

ดังนั้น กระแสเดินที่หน้าจอแสดง (I_{out}) จะได้

พิพากษารือวังของวงจรแสดงดังนี้ที่หน้าจอแสดง I_c
พิพากษารือวังของวงจรแสดงดังนี้ที่หน้าจอแสดง I_c ให้สามารถเขียนคำสัมภูมิของวงจรแสดงดังนี้ที่หน้าจอแสดง I_c ให้สามารถเขียนคำสัมภูมิของวงจรแสดงดังนี้ที่หน้าจอแสดง I_c



รูปที่ 3 โครงสร้างภายใน BiCMOS DO-CCCCCTA

3. ผลการทดสอบทางไฟฟ้า

เพื่อเป็นการติดตั้งและตรวจสอบการทำงานที่หน้าจอแสดง จึงได้ต้องการทำตามขั้นตอนดังนี้โดยโปรแกรม PSPICE

สำหรับภาษาเรียบสัญญาณเดิมเดิน PSpice ที่ใช้ในการคำนวณการคำนวณของวงจรได้ใช้พารามิเตอร์ของทางเดินสัญลักษณ์ MOSFET200N และ NPF200N ตามเดิม ซึ่งเป็นมาตรฐานเดินสัญลักษณ์ของ ALTA400 ของ AT&T [18] และสำหรับ

PMOS และ NMOS ที่ใช้ในการคำนวณของทางเดินสัญลักษณ์ของวงจร 0.35μm TSMC CMOS เทคโนโลยี [19] โดยกำหนดค่าของวงจร AI-A400 ของ AT&T [18] และสำหรับ

NMOS หัวใจของวงจรที่ห้าม 1224 อาจต้องตั้งค่าของวงจร $\pm 2V$ ไปที่ 3 เมื่อใช้หัวใจของวงจร DO-CCCCCTA ที่ห้ามสัญญาณเดิมเดิน BICMOS เพื่อให้สอดคล้องกับค่าของสัญญาณเดิมเดิน (Translinear) หากไม่ใช่ แสดงให้

แต่งส่วนขยายเดินที่หน้าจอแสดงดังนี้ที่หน้าจอแสดง I_c เมื่อให้สัมภูมิเดินที่หน้าจอแสดง 4 เป็นการทดสอบดูแล้วพบว่า สัญญาณเดิมเดิน I_c เมื่อเปลี่ยนเดินที่หน้าจอแสดง 4 ให้เป็นเดินที่หน้าจอแสดง 2 ที่หน้าจอแสดง 4 ได้ $\pm 3mA$ เมื่อเปลี่ยนเดินที่หน้าจอแสดง 2 ให้เป็นเดินที่หน้าจอแสดง 4 ที่หน้าจอแสดง 2 ได้ $\pm 1.5V$ โดยจะต้องตั้งค่า I_m ให้เท่ากับ $0.35mA$ TSMC CMOS เทคโนโลยี [19] โดยกำหนดค่าของวงจร AI-A400 ของ AT&T [18] และสำหรับ

PMOS และ NMOS ที่ใช้ในการคำนวณของทางเดินสัญลักษณ์ของวงจร 0.35μm TSMC CMOS เทคโนโลยี [19] โดยกำหนดค่าของวงจร AI-A400 ของ AT&T [18] และสำหรับ

PMOS และ NMOS ที่ใช้ในการคำนวณของทางเดินสัญลักษณ์ของวงจร 0.35μm TSMC CMOS เทคโนโลยี [19] โดยกำหนดค่าของวงจร AI-A400 ของ AT&T [18] และสำหรับ

PMOS และ NMOS ที่ใช้ในการคำนวณของทางเดินสัญลักษณ์ของวงจร 0.35μm TSMC CMOS เทคโนโลยี [19] โดยกำหนดค่าของวงจร AI-A400 ของ AT&T [18] และสำหรับ

PMOS และ NMOS ที่ใช้ในการคำนวณของทางเดินสัญลักษณ์ของวงจร 0.35μm TSMC CMOS เทคโนโลยี [19] โดยกำหนดค่าของวงจร AI-A400 ของ AT&T [18] และสำหรับ

PMOS และ NMOS ที่ใช้ในการคำนวณของทางเดินสัญลักษณ์ของวงจร 0.35μm TSMC CMOS เทคโนโลยี [19] โดยกำหนดค่าของวงจร AI-A400 ของ AT&T [18] และสำหรับ

PMOS และ NMOS ที่ใช้ในการคำนวณของทางเดินสัญลักษณ์ของวงจร 0.35μm TSMC CMOS เทคโนโลยี [19] โดยกำหนดค่าของวงจร AI-A400 ของ AT&T [18] และสำหรับ

PMOS และ NMOS ที่ใช้ในการคำนวณของทางเดินสัญลักษณ์ของวงจร 0.35μm TSMC CMOS เทคโนโลยี [19] โดยกำหนดค่าของวงจร AI-A400 ของ AT&T [18] และสำหรับ

PMOS และ NMOS ที่ใช้ในการคำนวณของทางเดินสัญลักษณ์ของวงจร 0.35μm TSMC CMOS เทคโนโลยี [19] โดยกำหนดค่าของวงจร AI-A400 ของ AT&T [18] และสำหรับ

PMOS และ NMOS ที่ใช้ในการคำนวณของทางเดินสัญลักษณ์ของวงจร 0.35μm TSMC CMOS เทคโนโลยี [19] โดยกำหนดค่าของวงจร AI-A400 ของ AT&T [18] และสำหรับ

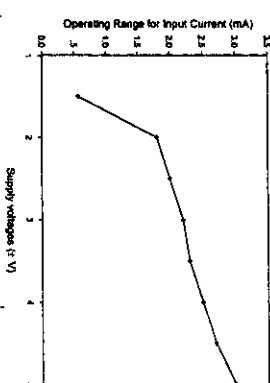
PMOS และ NMOS ที่ใช้ในการคำนวณของทางเดินสัญลักษณ์ของวงจร 0.35μm TSMC CMOS เทคโนโลยี [19] โดยกำหนดค่าของวงจร AI-A400 ของ AT&T [18] และสำหรับ

PMOS และ NMOS ที่ใช้ในการคำนวณของทางเดินสัญลักษณ์ของวงจร 0.35μm TSMC CMOS เทคโนโลยี [19] โดยกำหนดค่าของวงจร AI-A400 ของ AT&T [18] และสำหรับ

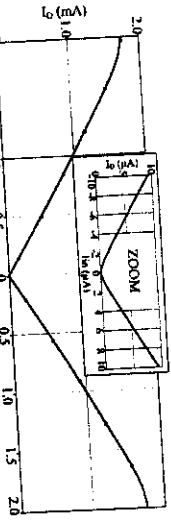
PMOS และ NMOS ที่ใช้ในการคำนวณของทางเดินสัญลักษณ์ของวงจร 0.35μm TSMC CMOS เทคโนโลยี [19] โดยกำหนดค่าของวงจร AI-A400 ของ AT&T [18] และสำหรับ

PMOS และ NMOS ที่ใช้ในการคำนวณของทางเดินสัญลักษณ์ของวงจร 0.35μm TSMC CMOS เทคโนโลยี [19] โดยกำหนดค่าของวงจร AI-A400 ของ AT&T [18] และสำหรับ

PMOS และ NMOS ที่ใช้ในการคำนวณของทางเดินสัญลักษณ์ของวงจร 0.35μm TSMC CMOS เทคโนโลยี [19] โดยกำหนดค่าของวงจร AI-A400 ของ AT&T [18] และสำหรับ



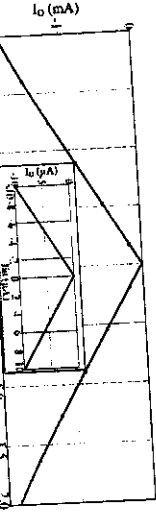
รูปที่ 4 ผ่านการคำนวณของสัญญาณเดินสัญญาณเดิมเดิน ที่หน้าจอแสดง



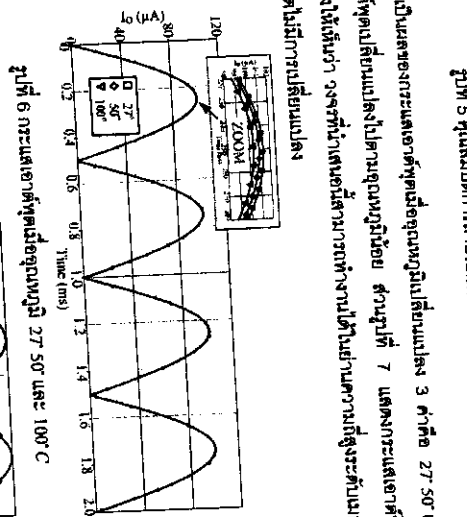
(f) เมื่อ $I_c = 200 \mu A$

รูปที่ 5 คุณสมบัติการถ่ายสัญญาณไฟฟ้าของวงจร

จากรูปที่ 6 เป็นผลของการทดสอบค่าความถี่อุดมสมบูรณ์เมื่อเทียบกับ 3 ศักดิ์ 27.50 และ 100°C พยายามได้ 6 เป็นผลของการทดสอบค่าความถี่อุดมสมบูรณ์เมื่อเทียบกับ 3 ศักดิ์ 27.50 และ 100°C พยายามได้ 7 เมื่อทดสอบกระแสไฟฟ้าคงที่และกระแสไฟฟ้าคงที่ในวงจรได้พบว่าความถี่สูงสุดที่สามารถใช้ได้คือ 0.5MHz แต่จะได้รับผลลัพธ์ที่ดีที่สุดสำหรับการถ่ายสัญญาณไฟฟ้าคงที่ในช่วงความถี่ 0.1MHz ถึง 1MHz ซึ่งสัญญาณกระแสไฟฟ้าคงที่ไม่สามารถถูกทดสอบได้

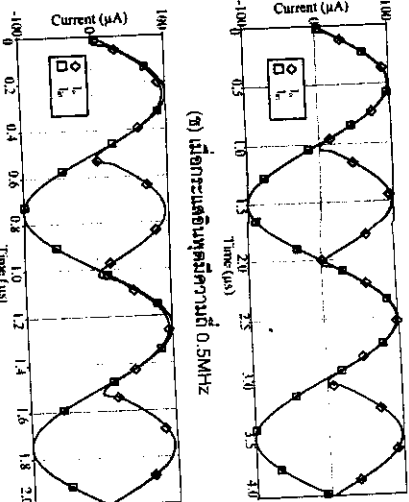


(g) เมื่อ $I_c = -200 \mu A$



รูปที่ 6 ผลกระทบต่อความถี่ของวงจร

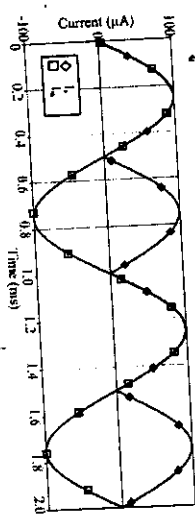
ในการทดสอบความถี่ต้องทดสอบความถี่ต่ำที่สุดเพื่อให้ได้ผลลัพธ์ที่ดีที่สุดโดยใช้ DO-CCCTA ที่สามารถเรียกว่าบล็อกวงจรกระแสไฟฟ้าคงที่ขนาดเล็ก สามารถทดสอบความถี่ต่ำที่สุดได้ ศักดิ์ 27.50 และ 100°C ให้ได้ผลลัพธ์ที่ดีที่สุดโดยใช้ DO-CCCTA โดยเมื่อต้องการทดสอบความถี่ต่ำกว่า 27.50 องศาเซลเซียสเพิ่มมากขึ้นอย่างต่อเนื่องให้ใช้ศักดิ์ 100°C แทน แต่จะต้องหันกลับมาใช้ศักดิ์ 27.50 ที่ต้องการทดสอบความถี่ต่ำกว่า 27.50 องศาเซลเซียส เช่น 0.5MHz ให้ได้ผลลัพธ์ที่ดีที่สุด แต่จะต้องหันกลับมาใช้ศักดิ์ 100°C ที่ต้องการทดสอบความถี่ต่ำกว่า 27.50 องศาเซลเซียส เช่น 0.1MHz ให้ได้ผลลัพธ์ที่ดีที่สุด แต่จะต้องหันกลับมาใช้ศักดิ์ 27.50 ที่ต้องการทดสอบความถี่ต่ำกว่า 27.50 องศาเซลเซียส เช่น 0.01MHz ให้ได้ผลลัพธ์ที่ดีที่สุด แต่จะต้องหันกลับมาใช้ศักดิ์ 100°C ที่ต้องการทดสอบความถี่ต่ำกว่า 27.50 องศาเซลเซียส เช่น 0.001MHz ให้ได้ผลลัพธ์ที่ดีที่สุด



รูปที่ 7 ผลกระทบต่อความถี่ของวงจร

สรุป

ในปีที่ผ่านมาได้นำเสนอ วงจรเรียกว่าบล็อกวงจรกระแสไฟฟ้าคงที่ขนาดเล็กที่สามารถทดสอบความถี่ต่ำที่สุดได้ ศักดิ์ 27.50 และ 100°C โดยเมื่อต้องการทดสอบความถี่ต่ำกว่า 27.50 องศาเซลเซียสเพิ่มมากขึ้นอย่างต่อเนื่องให้ใช้ศักดิ์ 100°C แทน แต่จะต้องหันกลับมาใช้ศักดิ์ 27.50 ที่ต้องการทดสอบความถี่ต่ำกว่า 27.50 องศาเซลเซียส เช่น 0.5MHz ให้ได้ผลลัพธ์ที่ดีที่สุด แต่จะต้องหันกลับมาใช้ศักดิ์ 100°C ที่ต้องการทดสอบความถี่ต่ำกว่า 27.50 องศาเซลเซียส เช่น 0.1MHz ให้ได้ผลลัพธ์ที่ดีที่สุด แต่จะต้องหันกลับมาใช้ศักดิ์ 27.50 ที่ต้องการทดสอบความถี่ต่ำกว่า 27.50 องศาเซลเซียส เช่น 0.01MHz ให้ได้ผลลัพธ์ที่ดีที่สุด แต่จะต้องหันกลับมาใช้ศักดิ์ 100°C ที่ต้องการทดสอบความถี่ต่ำกว่า 27.50 องศาเซลเซียส เช่น 0.001MHz ให้ได้ผลลัพธ์ที่ดีที่สุด แต่จะต้องหันกลับมาใช้ศักดิ์ 100°C ที่ต้องการทดสอบความถี่ต่ำกว่า 27.50 องศาเซลเซียส เช่น 0.0001MHz ให้ได้ผลลัพธ์ที่ดีที่สุด



(j) เมื่อความถี่ต่ำที่สุด 1kHz

เอกสารอ้างอิง

- B. Boonchu and W. Surakampontom, "A CMOS Current-mode square/recifier circuit," Proc. IEEE ISCAS2003, pp. I-405-I-408, 2003.
- C. Toundzou, F. J. Lidsey and S. Chatlong, "High frequency current conveyor precision full-wave rectifier," Electronic Letters, vol. 30, pp. 745-746, 1994.
- R. F. Coughlin and F. Drisoli, Operational Amplifier and Linear Integrated Circuit, New Jersey: Prentice-Hall, 1998.
- J. G. Stephan, "Novel precision full-wave rectifier," IEEE International Conference on Circuits and Systems, pp. 206-209, 2000.
- J. Sibum and D. M. Kim, "CMOS precision half-wave rectifier," IEICE Transaction on Fundamentals of electronics, communications and computer sciences, vol. E80-A, pp. 2000-2005, 1997.

- [6] A. Monpasorn, K. Dejian and F. Cheevesum, "A full-wave rectifier using a current conveyor and current mirror," Int. J. Elec., vol. 88, pp. 751-758, 2002.
- [7] S. J. G. Gift, "New precision rectifier with high accuracy and wide bandwidth," Int. J. Elec., vol. 92, pp. 601-617, 2001
- [8] D. R. Bhaskar, V. K. Sharma, M. Monis and S. M. I. Rizvi, "New current-mode universal biquad filter," Microelectronics Journal, vol. 30, pp. 837-839, 1999.
- [9] C. Toumazou, F. J. Lidsey and D. G. Haigh, *Analogue IC design: the current-mode approach*, London: Peter Peregrinus, 1990.
- [10] C. S. Hiles and T. N. Leopoulos, "Circuit design: a study on voltage-mode to current-mode conversion technique," Proc. of MELECON 96, pp. 1309-1312, 1996.
- [11] H. Schmid, "Why the terms 'current mode' and 'voltage mode' neither divide nor qualify circuits," IEEE ISCAS2002, pp. II-29-III-32, 2002.
- [12] S. Khuchandeesin and V. Kasemsuwan, "High performance CMOS current-mode precision full-wave rectifier," IEEE ISCAS2003, pp. I-41-I-44, 2003.
- [13] A. Kongsaak, T. Worapong, R. Vanchai and S. Wanlop, "Sinusoidal frequency doubler and full-wave rectifier based on translinear current-controlled current conveyors," Int. J. Elec., vol. 91, pp. 227-239, 2004.
- [14] กานง ศิลป์พัฒน์, รุ่งษ์ ใจก้าว, "เพิร์เซนต์ กัมพูชีมา និង មនុសា ក្រសួងសំណូលបាយគីឡូនិចនេះ, "ការរៀបចំសំណូលបាយគីឡូនិចនេះ ក្នុងសម្រេចការណ៍ដែលបានគីឡូនិចនេះ" CDTA ថែទាំគីឡូនិចនេះ", ការបង្កើតផ្តើមបានការងារ គេហទ័រ ៣០, អាណាពេជ្រាវ ៨៩៣-៨៩៦, ២៤៥០
- [15] A. Anwar, M. Khan, A. El-Ela and M. A. AL-Juraidi, "Current-mode precision rectifier," Int. J. Elec., vol. 79, pp. 853-859, 1995.
- [16] M. Shimpachyanun, M. Phattanasak and W. Jaikla, "Current Controlled Current Conveyor Transconductance Amplifier (CCCCTA): A Building Block for Analog Signal Processing," ការបង្កើតផ្តើម វិភាគភាពការងារអ៊ីហី, គេហទ័រ ៣០, អាណាពេជ្រាវ ៨៩៧-៩០០, ២៤៥០
- [17] A. B. Grebene, *Bipolar and MOS analog integrated circuit design*, New York: John Wiley & Sons, 1984
- [18] D. R. Frey, "Log-domain filtering: an approach to current-mode filtering," IEE Proc. Circuit Devices Syst., vol. 140, pp. 406-416, 1993.
- [19] E. Yuce, S. Tokal, A. Kizilkaya and O. Cicekoglu, "CCII-based PID controllers employing grounded passive components," Inter. J. of Elec. & Commu. (AEU), vol. 60, pp. 399-403, 2006.